

INNOVATIVE DEVELOPMENT OF SCIENCE, TECHNOLOGY AND EDUCATION

Proceedings of IX International Scientific and Practical Conference

Vancouver, Canada

6-8 June 2024

Vancouver, Canada

2024

38.	Магоцький О. І., Василюк А. С.	200
	ПРОЄКТ ІНФОРМАЦІЙНОЇ СИСТЕМИ З НАДСИЛАННЯ ПЕРСОНАЛІЗОВАНИХ РЕКЛАМНИХ СПОВІЩЕНЬ	
39.	Матвієнко А. І., Малініч І. П.	204
	СИМУЛЯЦІЯ ЛОНГБОРДИНГУ У КОМПЮТЕРНИХ ГРАХ	
40.	Медяник В. Ю., Пойманов С. М.	207
	ГЕОПРОЕКТУВАННЯ ТА МОНІТОРИНГ ЗА БЕЗПЕЧНИМ ВИКОНАННЯМ РОБІТ З ВИКОРИСТАННЯМ 3-Д ЛІДАР СКАНЕРІВ ПРИ ВІДПРАЦЮВАННІ РОДОВИЩ КОРИСНИХ КОПАЛИН ПІДЗЕМНИМ СПОСОБОМ	
41.	Савчук Т. О., Тарасюк М. Б.	213
	УДОСКОНАЛЕНИЙ АЛГОРИТМ СОРТУВАННЯ ОДНОВИМРНИХ ЦЛОЧИСЕЛЬНИХ МАСИВІВ	
42.	Сиротинська В. В.	218
	ПОБУДОВА РЕКОМЕНДАЦІЙНОЇ СИСТЕМИ ЗАСТОСУВАННЯМ МЕТОДІВ КЛАСТЕРИЗАЦІЇ	I3
43.	Сющук І. О.	224
	ПІДВИЩЕННЯ ЕФЕКТИВНОСТІ БІЗНЕС-ПРОЦЕСІВ ДОПОМОГОЮ ЧАТ-БОТІВ: СТРАТЕГІЇ ТА ПЕРЕВАГИ	3A
44.	Хачатурян К. К., Гегия Н. А., Макадзе М. В., Энукидзе Л. Т.	232
	МИНЕРАЛОГО-ТЕХНОЛОГИЧЕСКОЕ МАРТВИЛЬСКОЙ БЕНТОНИТОВОЙ ГЛИНЫ	ИЗУЧЕНИЕ
45.	Яновський П. О., Кульбашевський В. А., Горбань Р. О., Вернигора А. І.	241
	ВИКОРИСТАННЯ РОЗСУВНИХ КОЛІСНИХ ПАР ПРИ ПЕРЕТИНІ ЗАЛІЗНИЦЕЮ МІЖДЕРЖАВНИХ КОРДОНІВ У СВІТІ	

PHYSICAL AND MATHEMATICAL SCIENCES

46.	Кондратенко П. О.	250
	ДИФЕРЕНЦІАЛЬНЕ ОБЕРТАННЯ СОНЦЯ	
47.	Кравченко В. О., Кравченко Ю. А.	260
	ЕФЕКТ ГІГАНТСЬКОГО МАГНITOОПОРУ У СПІН- ВЕНТИЛЬНИХ НЕСИМЕТРИЧНИХ СИСТЕМАХ	
48.	Мусій Р. С., Клапчук М. І., Пелех Р. Я.	268
	РОЗРАХУНОК ТЕМПЕРАТУРНИХ РЕЖИМІВ У ПЛИТІ ЗА НАЯВНОСТІ НЕСТАЦІОНАРНИХ ДЖЕРЕЛ ТЕПЛА	

GEOGRAPHICAL SCIENCES

49.	Korzhov Ye. I.	274
	PECULIARITIES OF THE THERMAL REGIME FORMATION OF THE TYLIGUL ESTUARY IN THE SPRING-SUMMER PERIOD	

ЕФЕКТ ГІГАНТСЬКОГО МАГНІТООПОРУ У СПІН-ВЕНТИЛЬНИХ НЕСИМЕТРИЧНИХ СИСТЕМАХ

Кравченко Володимир Олексійович

к.ф.-м.н., ст. викладач

Сумський національний аграрний університет,

м. Суми, Україна

Кравченко Юлія Анатоліївна

к.ф.-м.н., ст. викладач

Сумський державний університет,

м. Суми, Україна

Анотація. В роботі представлені результати експериментальних досліджень магніторезистивного ефекту в тришарових несиметричних структурах з немагнітним розділяючим шаром. Показано, що при значній товщині немагнітного шару в зразках спостерігається ефект гігантського магнітоопору, що свідчить про утворення системи без обмінного зв'язку між феромагнітними шарами. В процесі термообробки відбувається перехід до анізотропного магніторезистивного ефекту, що, очевидно, пояснюється руйнуванням за рахунок процесів високотемпературної дифузії немагнітного шару.

Ключові слова: магнітні датчики, ефект гігантського магнітоопору, анізотропний магніторезистивний ефект.

З розвитком технічних засобів автоматики та автоматизації датчики є одним з основних елементів ланцюжка «датчик – пристрій керування – виконавчий пристрій – керований об'єкт». Магнітні датчики знайшли широке застосовання в банкоматах, детекторах валют, апаратах для зчитування даних магнітної смуги на карті, магнітних сканерах, комп'ютерах, стільникових телефонах. У машинобудуванні та автомобілебудуванні вони використовуються для визначення швидкості, положення обертового вала

електродвигуна, зміни лінійного і кутового положення. Використання магнітних датчиків в електроенергетиці пов'язане з задачами визначення струмів та вимірюванням магнітних полів.

Принцип дії магнітних датчиків базується на магніторезистивному ефекті та ефекті Холла. Магніторезистивний ефект (магнітоопір) в загальному випадку – це зміна електричного опору матеріалу, що викликається магнітним полем. Магніторезистивний ефект буває кількох видів, і кожен з них має різну природу. При конструюванні датчиків найчастіше застосовуються анізотропний магніторезистивний ефект (AMR), ефекти гігантського (GMR) та тунельного (TMR) магнітоопору. В роботі представлені результати дослідження магніторезистивного ефекту в несиметричних тришарових структурах, які можуть використовуватися в якості матеріалів для створення магнітних датчиків.

Ефект гігантського магнітоопору, виявлений у магнітних багатошарових структурах, відрізняється за своєю величиною та природою від класичного магніторезистивного ефекту. Величина магнітоопору в магнітних мультишарах більш ніж на порядок перевищує величину магнітоопору у масивних феромагнітних матеріалах. Крім того, ефект гігантського магнітоопору не залежить від відносної орієнтації магнітного поля і струму, визначаючись відносною орієнтацією намагніченостей у сусідніх феромагнітних шарах. Для досліджень було обрано систему, в якій феромагнітні шари виконані на основі сплавів CoNi, FeNi розділених відносно товстими немагнітними прошарками ($d_N = 3\text{--}15$ нм) благородних металів Ag і Cu.

Отримання магнітних тришарових структур, у яких спостерігається антиферомагнітна взаємодія (або антипаралельна конфігурація (AP)) між феромагнітними шарами через немагнітний прошарок, у результаті якої магнітні моменти в сусідніх феромагнітних шарах орієнтуються антипаралельно [1], стало першим кроком до відкриття ГМО. Але наявність антиферомагнітного зв'язку не є необхідною умовою отримання ефекту ГМО.

Антипаралельна конфігурація намагніченостей сусідніх феромагнітних шарів може досягатися і тоді, коли в якості феромагнітних шарів використовуються два феромагнетики з різною величиною коерцитивної сили [2]. Сам термін “спін – вентиль” означає, що магнітне поле керує переходом електронів з певною орієнтацією спінів стосовно вектора локальної намагніченості магнітного шару через межу поділу шарів, тобто тим самим створюється магнітний затор. Для отримання таких структур необхідно, щоб шари металу перемагнічувалися у різних магнітних полях, тобто мали б різну коерцитивну силу. У таких системах під дією зовнішнього магнітного поля, величину якого підбирають проміжною між двома значеннями коерцитивної сили, відбувається переход зразка від антипаралельної до паралельної конфігурації. Перевагою таких систем є відносно малі значення поля насищення H_s , при яких спостерігається ефект GMR ($H_s \sim 4-40$ кА/м), що дуже важливо для практичного використання ефекту в магніторезистивних зчитуючих головках та магнітних сенсорах. У нашому випадку така ситуація реалізується в асиметричній тришаровій структурі CoNi/Ag(Cu)/FeNi.

Характерною особливістю магнітовпорядкованих речовин зі спонтанною намагніченістю є наявність для них кривої намагнічування та петлі гістерезису. У зв'язку з цим у всіх досліджуваних зразках на основі феромагнітних сплавів ($d_F = 10-50$ нм) спостерігається гістерезис МО при циклічній зміні магнітного поля $H_{max} \rightarrow 0 \rightarrow (-H_{max}) \rightarrow 0 \rightarrow H_{max}$. Основними причинами магнітного і магніторезистивного гістерезису є необоротний зсув доменних стінок, необоротне обертання спонтанної намагніченості та затримка утворення і росту зародків перемагнічування.

Для всіх досліджуваних зразків CoNi/Ag(Cu)/FeNi з товщиною немагнітного шару до 2 нм спостерігається позитивний повздовжній магніторезистивний ефект (опір збільшується при прикладенні зовнішнього магнітного поля), що є ознакою звичайного анізотропного магнітоопору, властивого однорідним феромагнітним матеріалам.

Причиною анізотропного магнітоопору (AMR) є взаємодія електронів провідності із зовнішніми електронами атома, спінові моменти яких спричиняють спонтанну намагніченість. Слід зазначити, що величина MO для невідпалених плівок CoNi, FeNi та CoNi/Ag(Cu)/FeNi з AMR становить дуже малу величину і при кімнатній температурі не перевищує 0,15%. Це пояснюється тим, що при малій товщині немагнітного прошарку у тришарових плівках існує пряма обмінна взаємодія між магнітними шарами через феромагнітні містки в немагнітному прошарку. Таку плівку можна розглядати як двошарову плівку товщиною $2d_F$ із включенням острівців срібла чи міді між феромагнітними шарами. Гігантський магнітоопір у таких плівках нами не був виявлений.

Для невідпалених тришарових плівок з товщиною прошарку $d_{Ag} = 3\text{--}15$ нм спостерігається тільки зменшення електричного опору незалежно від напрямку прикладеного магнітного поля, струму й орієнтації зразка (відсутність анізотропії MO). Знак “–” показує, що електричний опір зменшується при внесенні розмагніченого зразка у магнітне поле.

Цей факт є характерною ознакою GMR. На рис. 1 в якості ілюстрації представлені залежності повздовжнього та поперечного магнітоопору від напруженості зовнішнього магнітного поля для тришарової системи CoNi/Ag/FeNi з $d_F = 30$ нм і $d_{Ag} = 5$ нм, отримані при різних температурах.

Як видно з рисунка, характерною ознакою для всіх залежностей $(\Delta R/R_0)(H)$ є різка зміна магнітоопору в інтервалі полів $-20 - +20$ Ое і явна тенденція до насищення в більш сильних полях.

Отже, відносно слабке магнітне поле переводить систему від антиферомагнітного впорядкування до феромагнітного, що й викликає зменшення опору провідника, тобто реалізується GMR-ефект. Джерелом гігантського магнітоопору є механізм неоднакового розсіювання двох груп електронів зі спінами, що відрізняються орієнтацією, по відношенню до напряму намагніченості розсіюючої електрони магнітної структури.

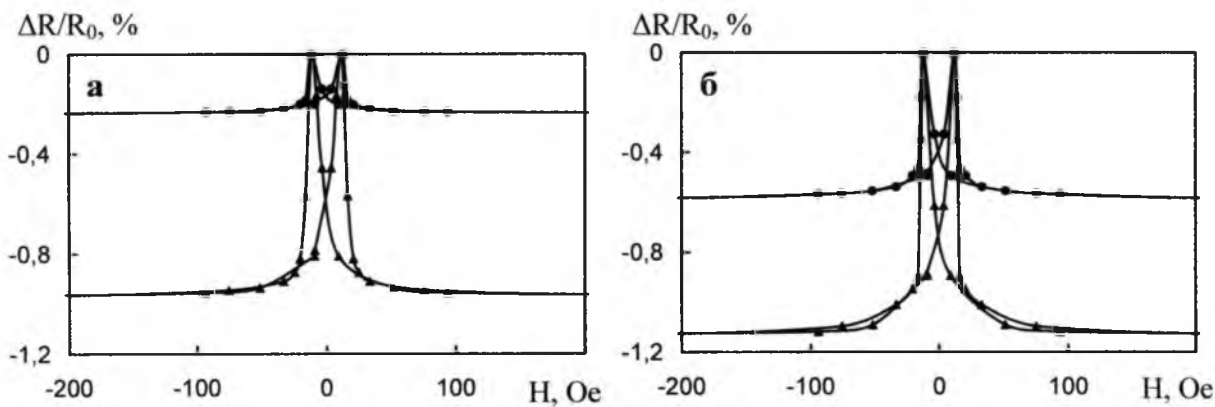


Рис. 1. Залежність повздовжнього (●●●) та поперечного (▲▲▲) магнітоопору від напруженості зовнішнього магнітного поля для невідпаленої тришарової структури CoNi/Ag/FeNi ($d_{CoNi} = 40$ нм, $d_{Ag} = 7$ нм, $d_{FeNi} = 40$ нм): а – температура вимірювання 300 К; б – температура вимірювання 150 К

У роботі, в якій вперше описаний ефект GMR [3], була висунута гіпотеза, згідно з якою він обумовлений спін-залежним розсіянням носіїв заряду на інтерфейсах багатошарової плівки [3] та в об’ємі шарів металу [4].

Факт виникнення GMR несе певну інформацію про параметри гетерогенної системи. Зокрема, характерний розмір магнітних елементів, відповідальних за ГМО, і середня відстань між ними не повинні значно перевищувати довжину вільного пробігу електронів провідності. У нашому випадку такими елементами є магнітні шари, розділені досить товстим немагнітним прошарком, який суттєво послаблює обмінний зв’язок між магнітними шарами. Також, при товщині шару срібла $d_{Ag} > 3$ нм проміжний шар стає структурно-суцільним і феромагнітні шари вже не зв'язуються прямою взаємодією. Величина GMR, за яку приймалася відносна різниця між максимальним і мінімальним значеннями опору за цикл перемагнічування у полі з максимальною напруженістю 1,5 кЕ, при цьому досягає 1% при кімнатній температурі.

При подальшому збільшенні товщини срібного прошарку ($d_{Ag} = 5\text{-}15$ нм) зберігається ізотропність польових залежностей, але величина ГМО

зменшується ($(\Delta R/R_0)_{\max} < 0,5\%$).

При охолодженні зразків до 150 К (рис. 1б) вид петель гістерезису магніторезистивного ефекту практично не змінюється (незалежно від товщини шарів). Спостерігається тільки збільшення ефекту і незначний зсув піків на залежності $(\Delta R/R_0)(H)$ в область більш сильних полів та зростання амплітуди ефекту. Зменшення амплітуди ефекту при підвищенні температури пов'язане з розсіянням електронів на фононах (особливо в немагнітному прошарку), що приводить до зменшення ролі процесів спін-залежного розсіювання, які і формують амплітуду ефекту, а також перешкоджає проходженню електронів з одного феромагнітного шару в інший [5].

Особливістю МО невідпалених зразків з мідним прошарком (рис. 2) є наявність лише поперечного магніторезистивного ефекту.

Відсутність повздовжнього ефекту, на нашу думку, пов'язане з появою незначного спін-залежного розсіяння носіїв заряду. Але про реалізацію ефекту гігантського магнітоопору в даних тришарових плівках говорити важко, бо характерною ознакою GMR є ізотропність польових залежностей.

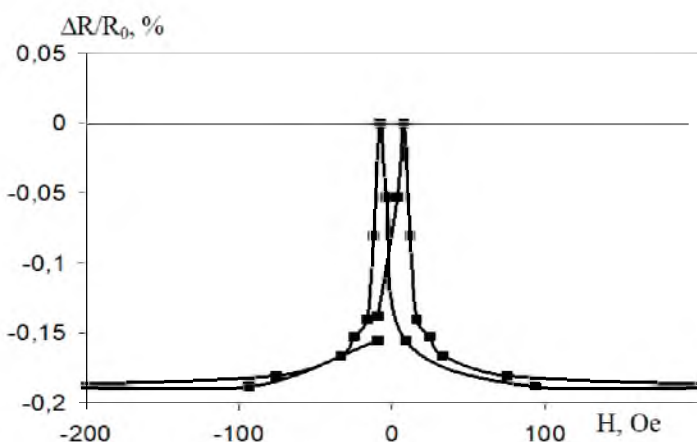


Рис. 2. Залежність поперечного магнітоопору від напруженості зовнішнього магнітного поля для невідпаленої тришарової структури CoNi/Cu/FeNi

Ефективним засобом впливу на мікроструктуру та властивості мультишарових структур є термічна обробка. У наших дослідженнях вона полягала у поетапному вакуумному відпалюванні при різних температурах

$T_{\text{відп.}}$. Тривалість термообробки при кожній температурі становила 30 хв. При відпалюванні плівок при температурі 550 К спостерігається поява повздовжнього (до 0,08-0,1%) та поперечного (до 0,3-0,4%) магнітоопору. Піки польових залежностей зміщуються в область більш сильних полів.

Відпалювання при 700 К приводить до подальшого зростання анізотропного магнітоопору (рис. 3а). На нашу думку, причиною збільшення величини магнітоопору при високотемпературному відпалюванні ($T_{\text{відп}} = 550 \text{ K}$, $T_{\text{відп}} = 700 \text{ K}$) є збільшення розмірів кристалітів та взаємна дифузія атомів в сусідні шари.

Зі зниженням температури до 150 К величина анізотропного магнітоопору також зростає в 1,2 – 1,3 рази, а піки польових залежностей зміщуються в область більш сильних полів (рис. 3б).

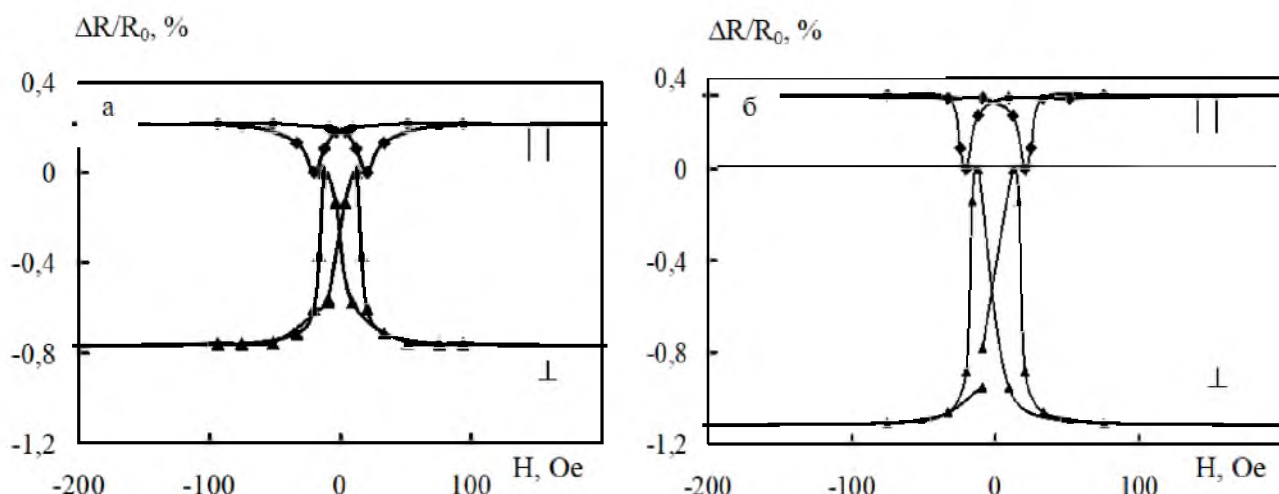


Рис. 3. Залежність повздовжнього (||) та поперечного (⊥) магнітоопору від напруженості зовнішнього магнітного поля для відпаленої при температурі 700 К тришарової структури CoNi/Cu/FeNi:
а – температура вимірювання 300 К; б – температура вимірювання 150 К

Отже, виходячи з отриманих результатів, основною перевагою несиметричних систем є досить малі поля насищення ($H_s \sim 50 \text{ Oe}$), при яких проявляється ефект ГМО, що важливо при практичному використанні магніторезистивних елементів.

СПИСОК ЛІТЕРАТУРИ

1. Layered magnetic structures: interlayer exchange couplind and giant magnetoresistance / A. Fert, P. Grunberg, A. Barthelemy et all. // J. Magn. and Magn. Mater. – 1995. – V. 140-144, № 1. – P. 1-8.
2. L. Kond, Q. Pan, B Cui et al. Magnetotransport and domain structures in nanoscale NiFe/Cu/Co spin valve // J. Appl. Phys., – 1999, – V. 85, № 8, – P. 5492-5494.
3. Interpretation of the giant magnetoresistance effect in Co/Cu(100) multilayers with the quantum model of gaint magnetoresistance / S.K.J. Lenczowski, M.A.M. Gijs, J.B. Giesbers et all. // Phys. Rev. B. – 1994. – V. 50, № 14. – P. 9982-9988.
4. Giant magnetoresistance of $(001)Fe/(001)Cr$ magnetic superlattices / M.N. Baibich, J.M. Broto, A. Fert et al. // Phys. Rev. Lett. – 1988. – V. 61, № 21. – P.2472 – 2475.
5. Dieny B. Giant magnetoresistance in spin – valve multilayers // J. Magn. Magn. Mater. – 1994. – V. 136. – P. 335 – 359.